





NEWAGE実験86:

地上実験に向けた 大型ガスTPCの運用状況

神戸大学 生井 凌太

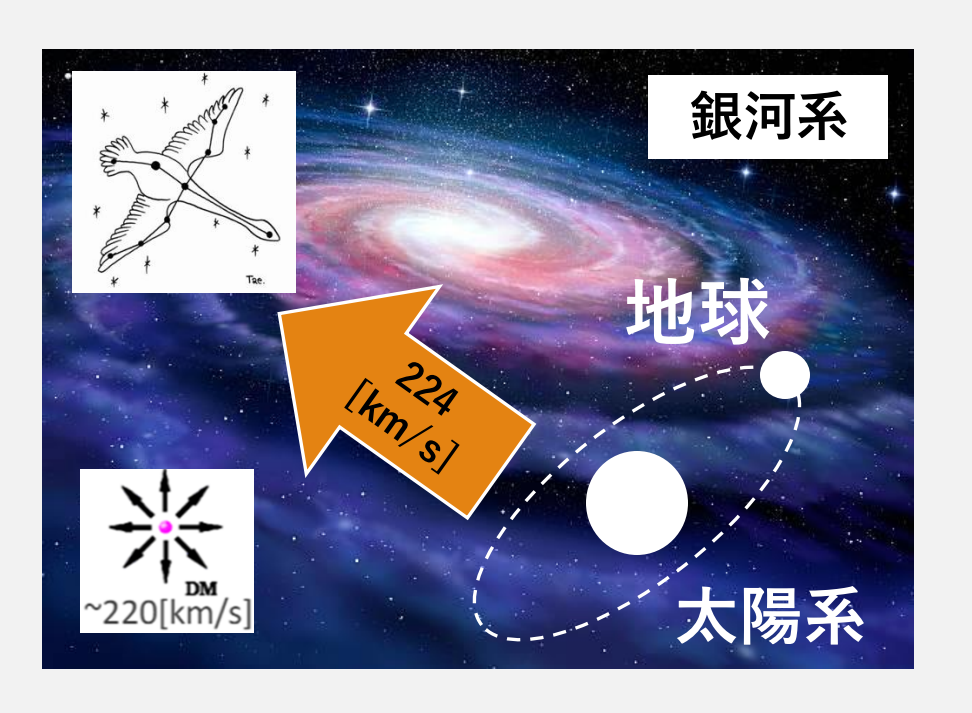
身内賢太朗, 東野聡, 鈴木啓司, 西田汐里, 遠山和佳子, 柳凛 2025/9/17

講演番号:17aEK203-4

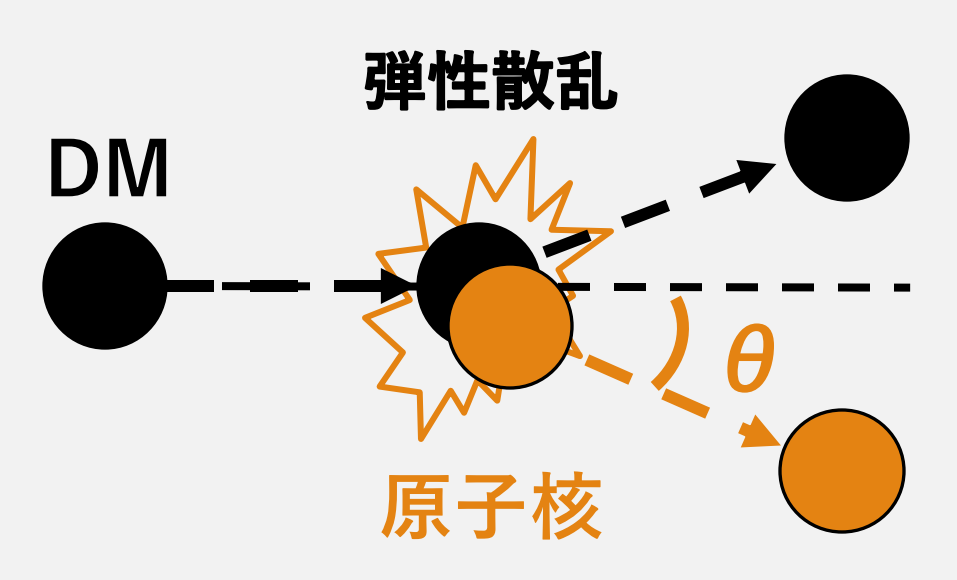
方向感度をもつ暗黒物質探索

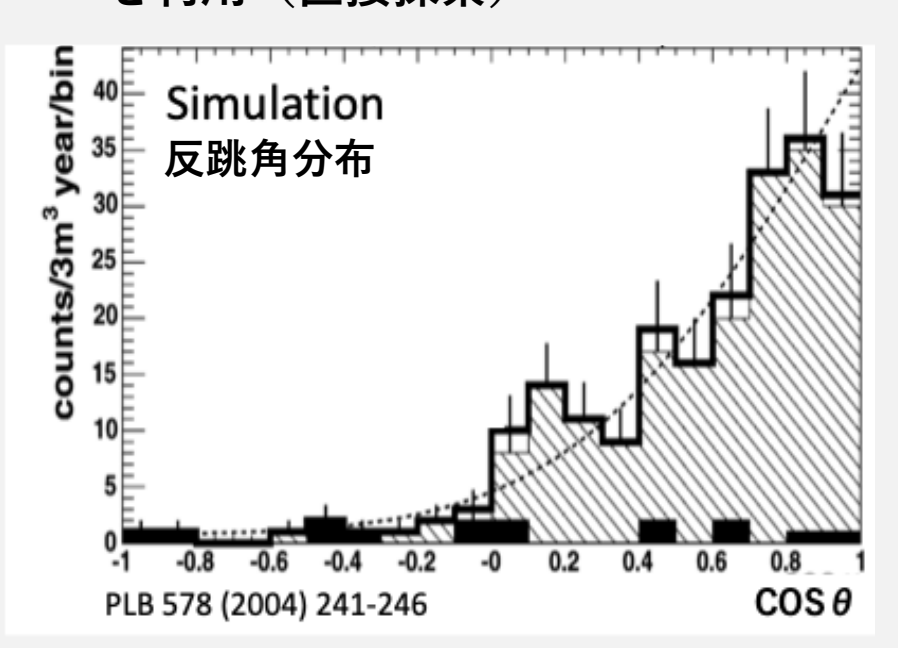






- ・ 不明な質量の存在の観測事実
 - → 世界中での暗黒物質 (DM) 探索
- ・ 方向に感度を持つ探索
 - → DMの到来方向依存性を利用
- ・どうやって?
 - → DM -原子核弾性散乱の反跳角分布 を利用(直接探索)





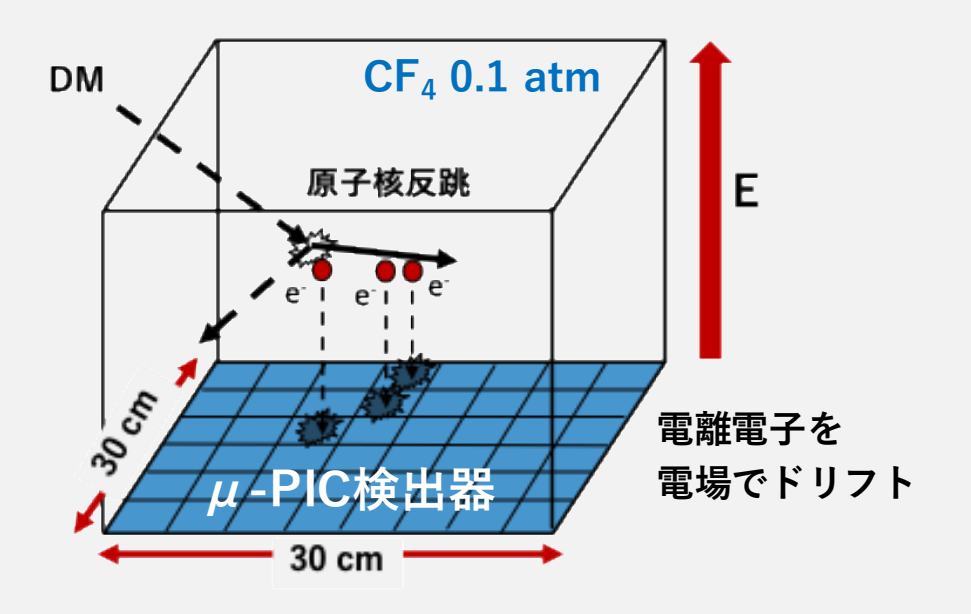
NEWAGE実験



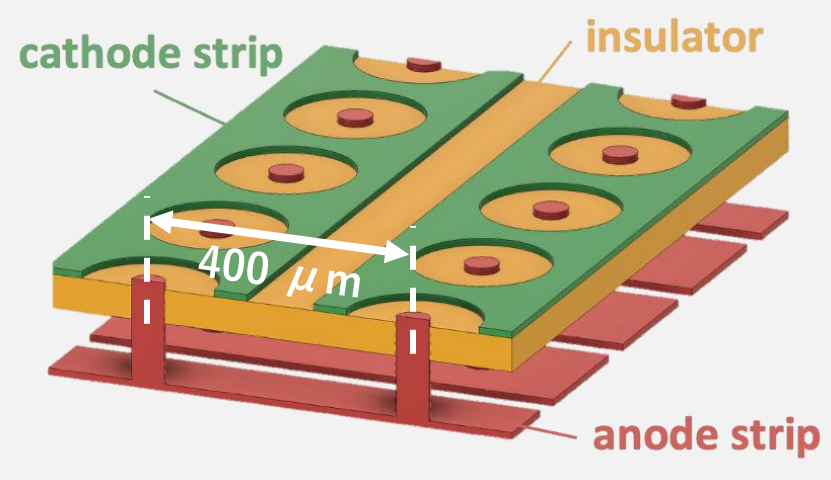


- ▶ 飛跡を三次元再構成することで反跳方向の情報を得る。
 - → ガスTPCを使用

<u>ガスTPC (Time Projection Chamber)</u>



<u>μ-PIC検出器</u>



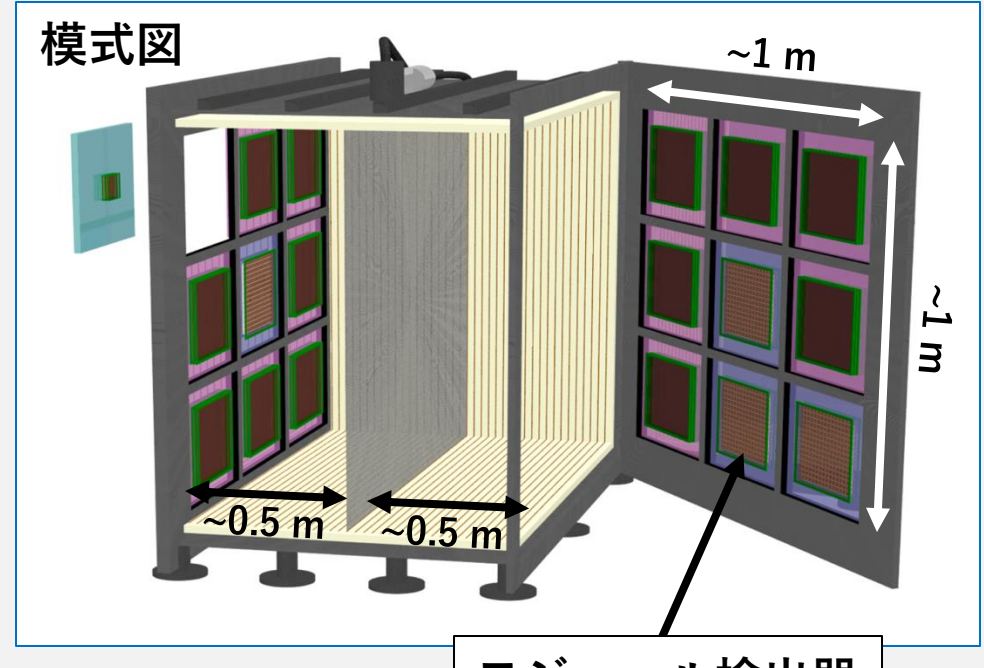
- > 二次元座標 + 時間による飛跡の3D再構成
- ▶ 電極付近の高電場によるガス利得
- **▶ DM検出感度向上のための取り組み**
 - 低背景事象化
- ← 東野talk (17aEK203-2)、柳talk (17aEK203-3)
- ・ 検出器の大型化
- ← 本講演のトピック

C/N-1.0









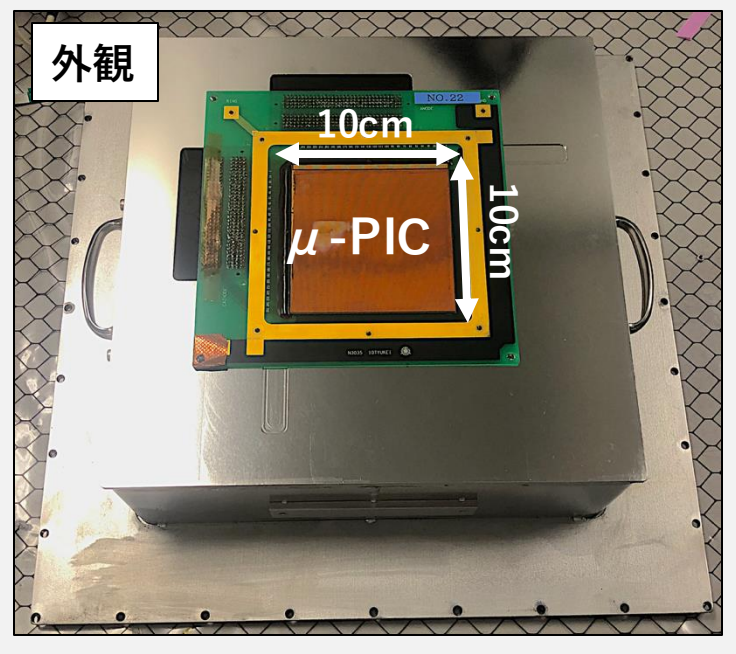
モジュール検出器

- ➢ 容積: ~1 m³
 - NEWAGEの約30倍
- ▶ モジュール型の検出器を最大18台搭載
 - ・ 2台のモジュール検出器を開発中
 - Module-0 ← 身内talk (17aEK203-5)
 - Module-1 ← 本講演

Module-1







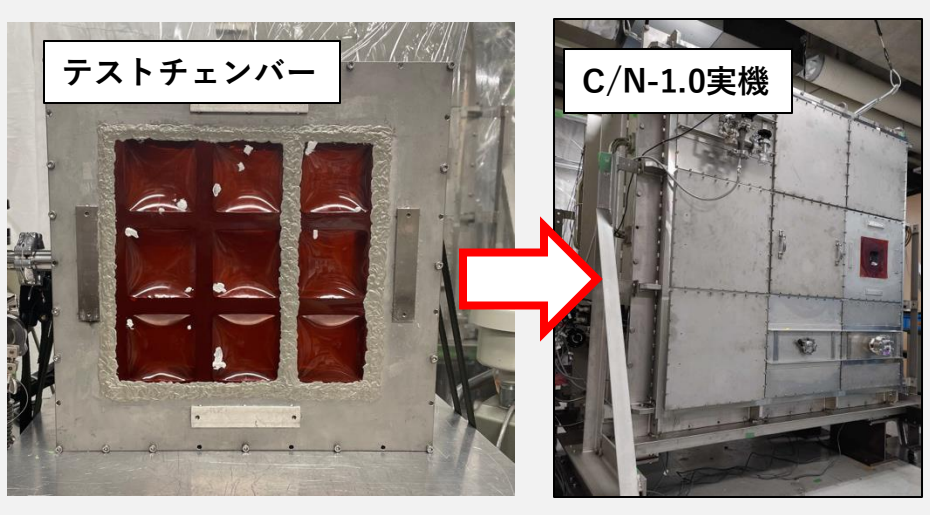
特徴

- ▶ 検出面積: 10 × 10 cm²
- > μ-PICによる三次元飛跡再構成
- → 現行NEWAGEを模した構造
- ・ 現行NEWAGEと異なる電場構造
 - ➤ GND面の場所
 - C/N-1.0の内部電場を乱さないため
 - → 形成電場に影響がないことを確認済 (JPS2024春 20aV1-3)

動作試験

▶ まずはテストチェンバーを用いて 性能を評価

方向感度を持つ=飛跡の角度を再構成 できることを確認する



飛跡の再構成

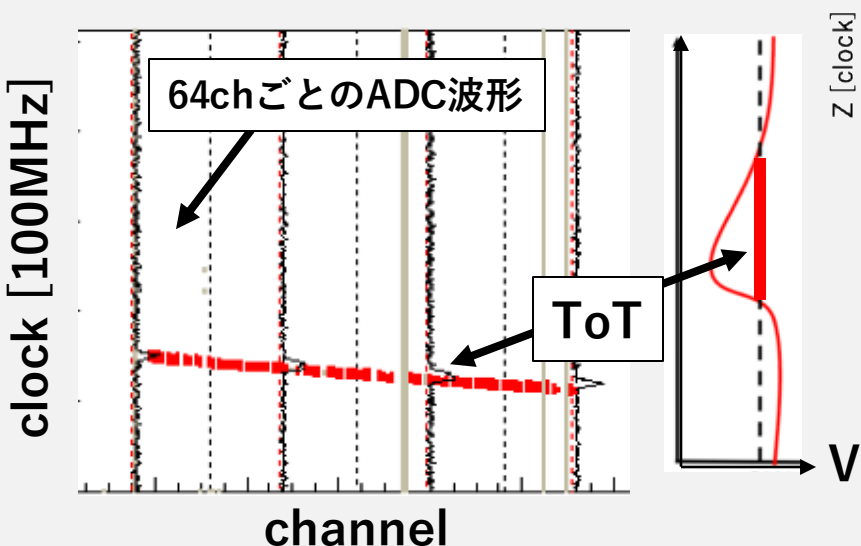




信号読み出し回路の外観



読み出しボードで取得される情報

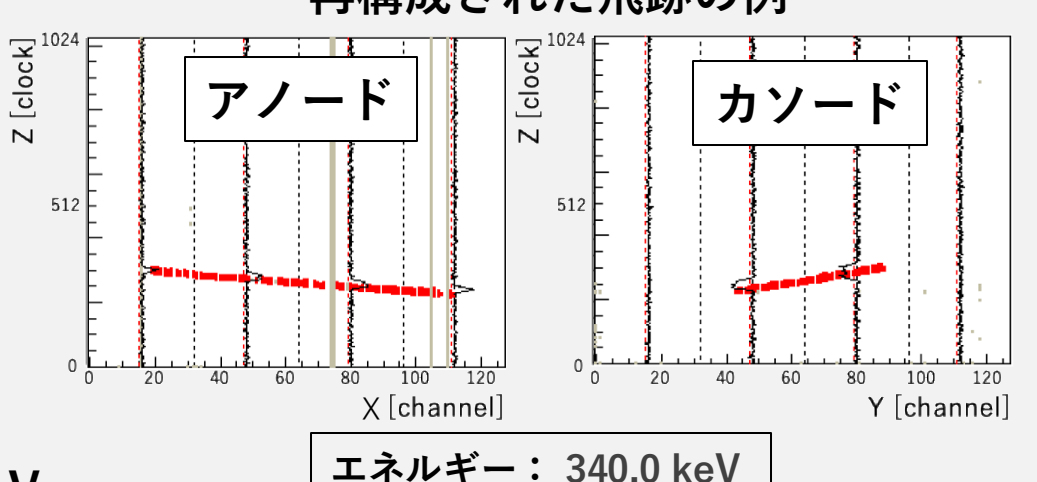


- アノード、カソード各128チャンネル
- ・ 読み出される信号は2種類
 - **▶ 32チャンネルごとに合計したADC波形**
 - → トリガー発行、エネルギー算出に使用
 - 各チャンネルのTime over Threshold (ToT)
 - → 飛跡長、反跳角度算出に使用

原子核反跳事象(NR)の選別に使用

▶ 正確な値を得ることが重要

再構成された飛跡の例



飛跡長:Length: 9.1 cm

テストチェンバー

事象選別



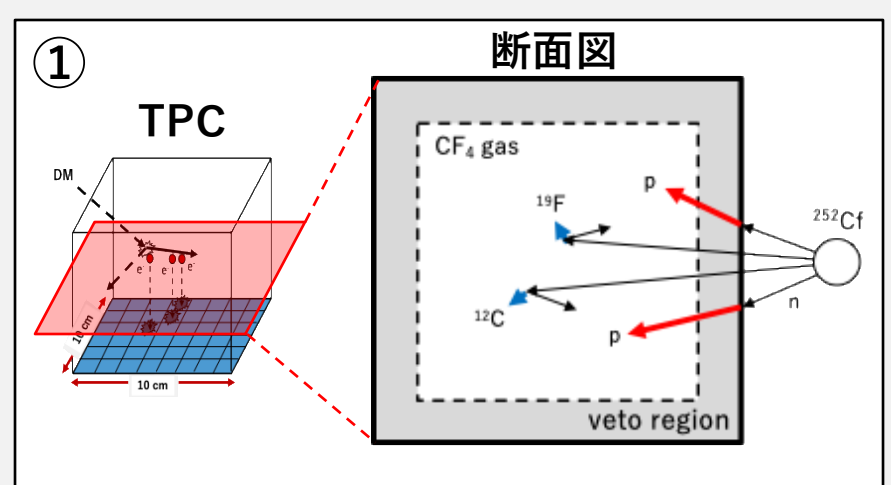


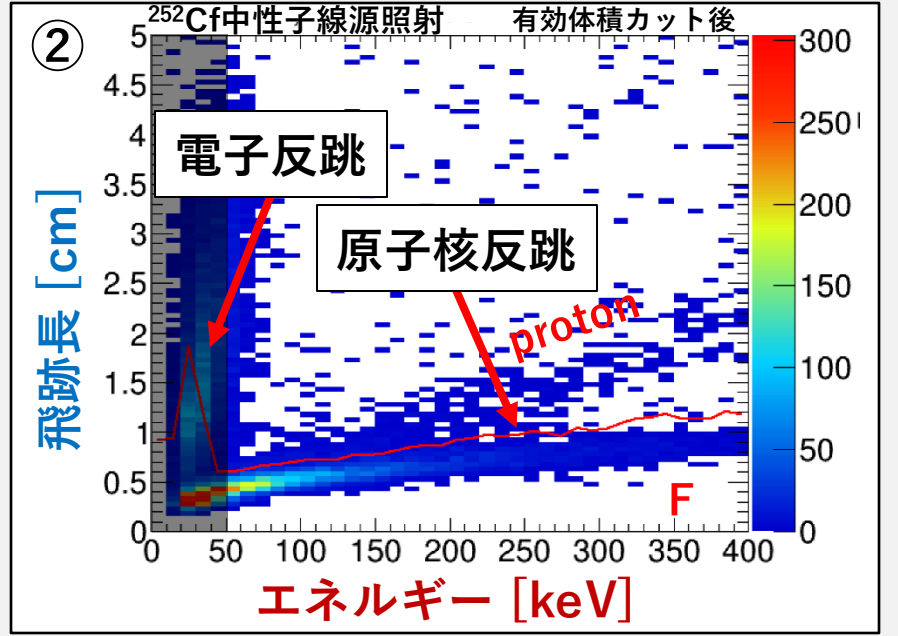
- > F原子核反跳事象を選別
 - ・ 飛跡の情報から飛跡長、エネルギー情報を再構成
 - ²⁵²Cf線源による中性子照射

選別条件

- ① 有効体積カット
 - 検出面積の端1cmでの事象をカット
 - → 検出領域外からのproton等を除去
- ② エネルギー-飛跡長カット
 - 原子核反跳に対してカットラインを 決定
 - → F反跳事象を選別
- ▶ 本解析ではprotonとの分離が良い
 - > 200 keVを使用

飛跡の角度分解能評価へ



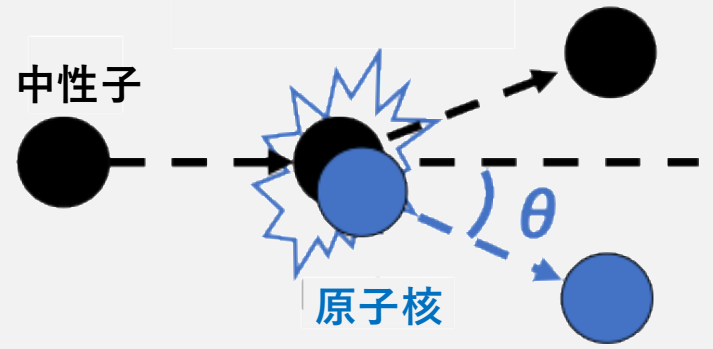


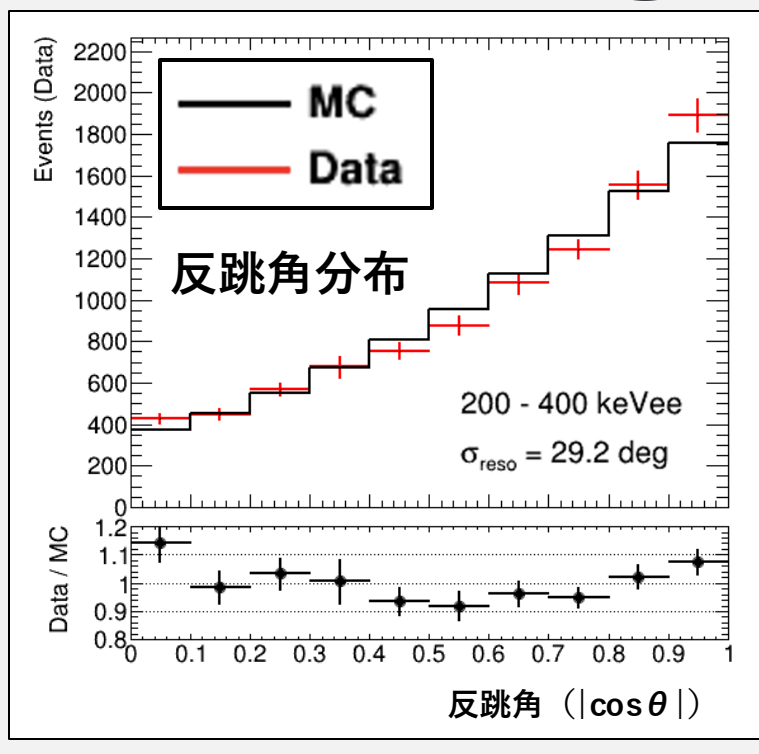
角度分解能評価

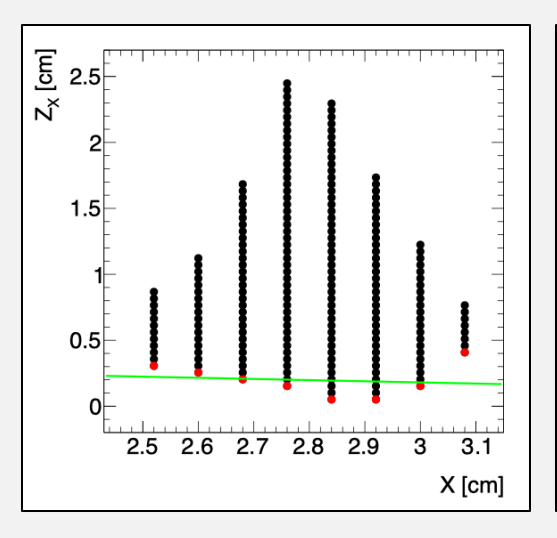


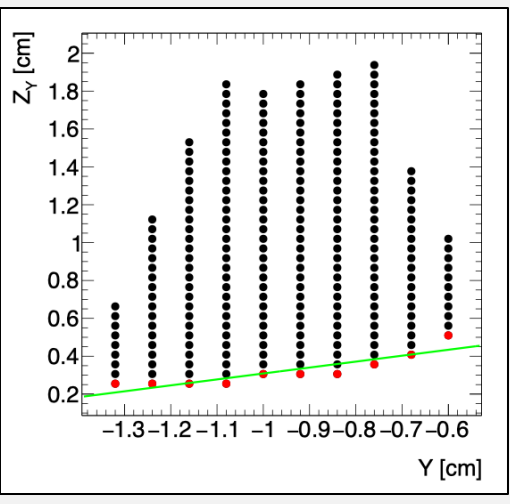


➤ ²⁵²Cf線源の中性子を使用









- ▶ 中性子による反跳原子核の反跳角を計算
 - 飛跡に対して線形fitting
 - ・ MCでの反跳角度分布と比較



$$\sigma_{\rm reso} = 29.2^{+1.8}_{-0.6} \, {}^{\circ} \, ({\rm stat.})$$

(200 keV < E < 400 keV)

NEWAGE: $\sigma_{\text{reso}} = 41.1^{+1.6}_{-1.6} \, ^{\circ} \, (\text{stat.})$

▶ drift距離の違いによる電子拡散による改善と思われる。

C/N-1.0

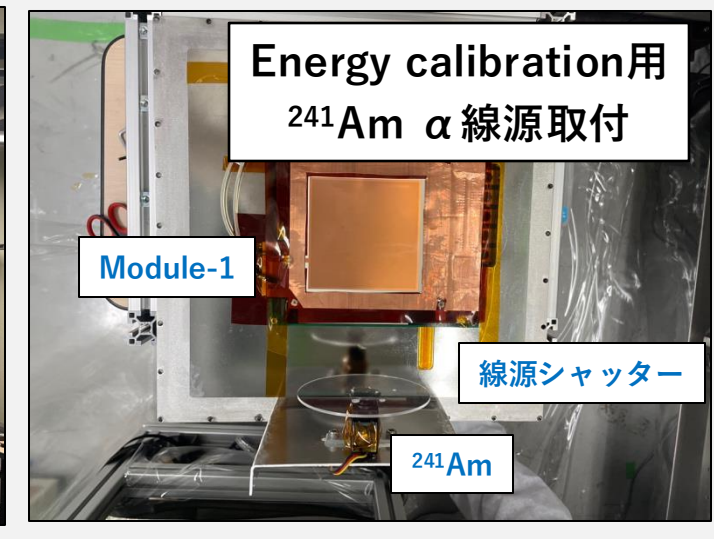
C/N-1.0への導入

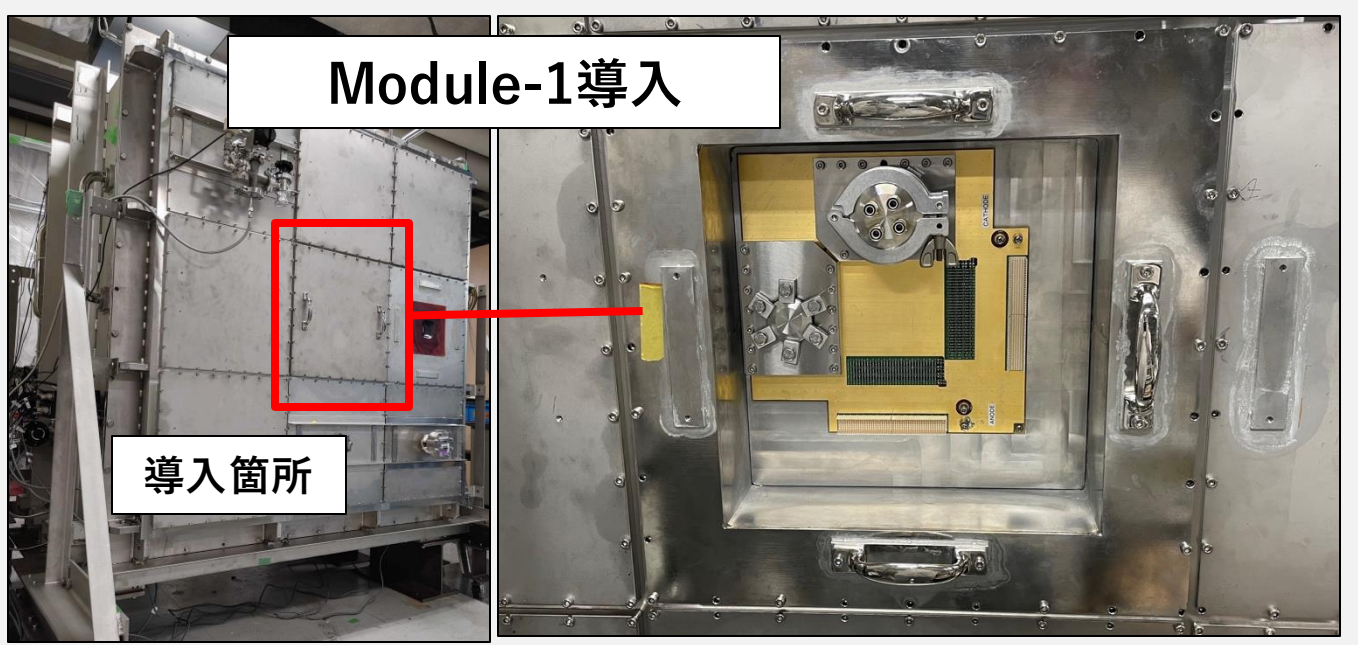




▶ 動作試験の完了したModule-1をC/N-1.0へ導入







飛跡の取得試験へ

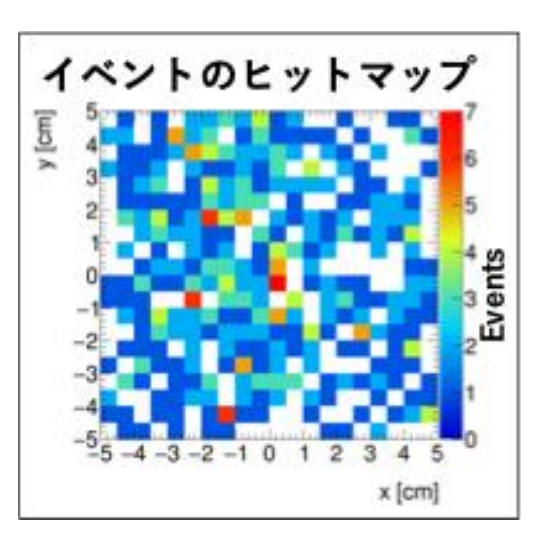
C/N-1.0による飛跡取得試験

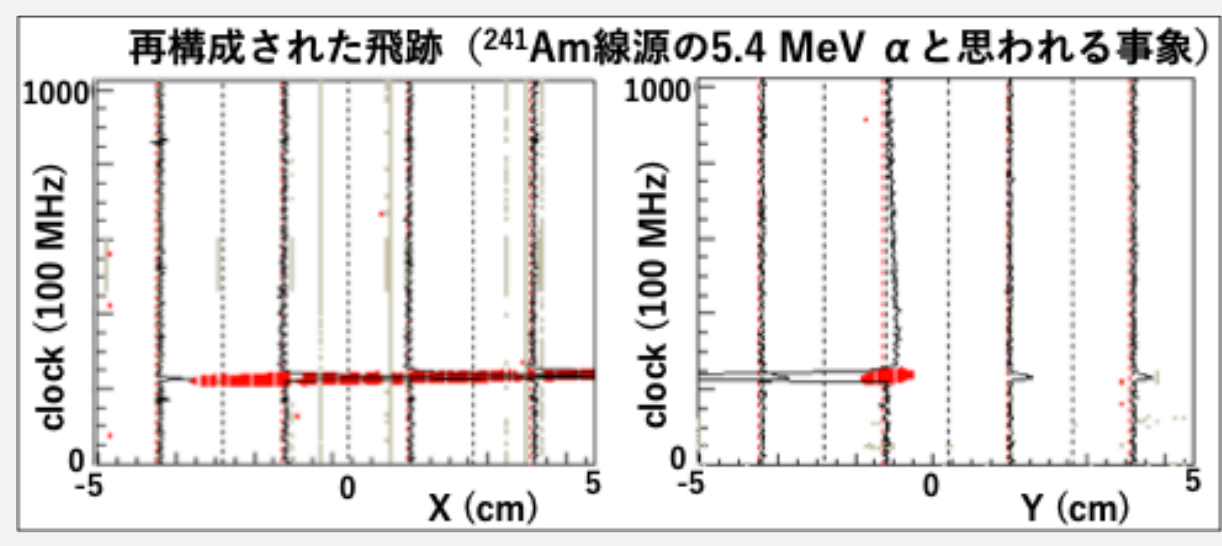


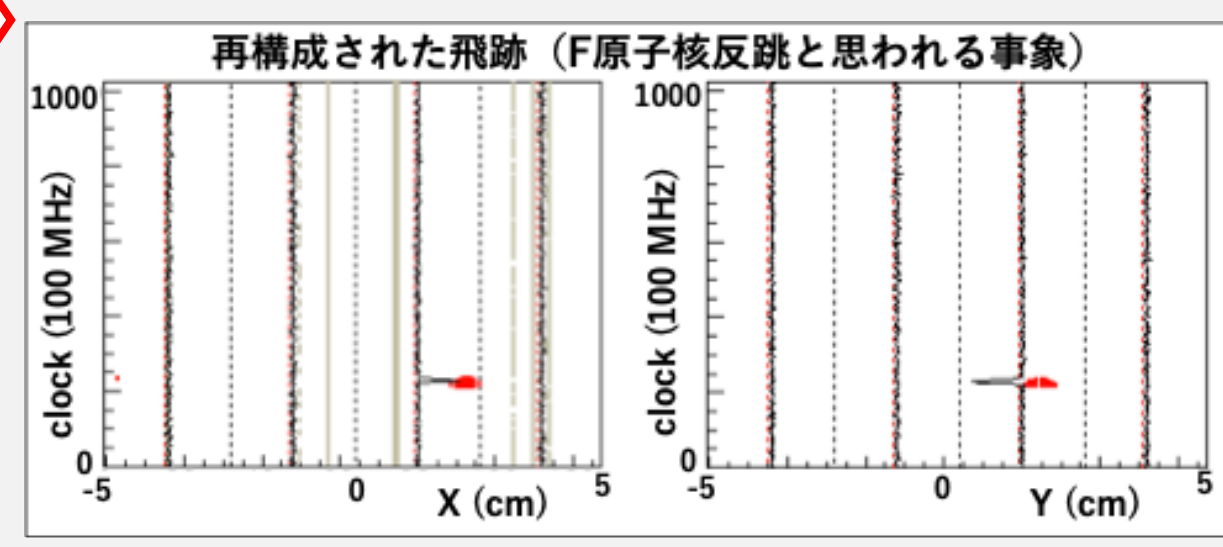


> ²⁴¹Am α線源 + ²⁵²Cf 中性子線源 照射









C/N-1.0 ロードマップ





2025



- ➤ C/N-1.0での性能評価
 - ・ 検出効率の評価
 - 角度分解能の評価

検出感度の推定

> 地上での暗黒物質探索試験

2026

神岡坑内への搬入(2025年度)

➤ Module-1地下測定(commissioning)

@神岡

@神戸

2027

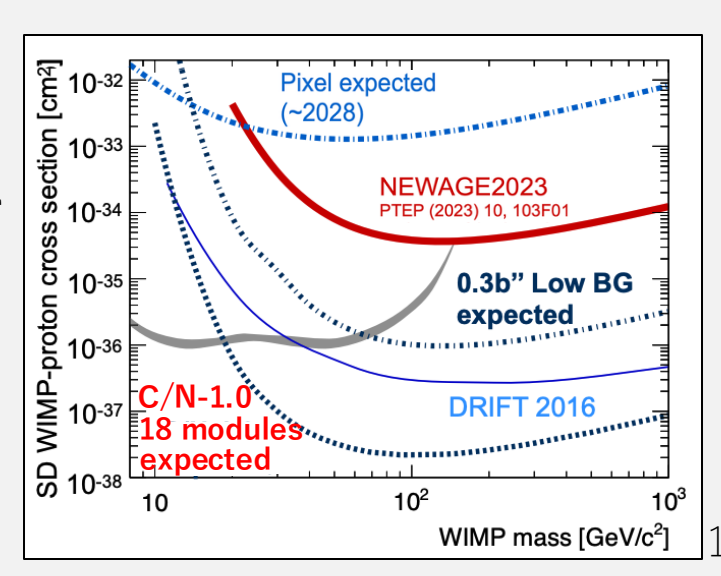
•

2030

C/N-1.0による暗黒物質探索へ

- \triangleright μ -PICを□ 10 cm \rightarrow □ 30 cmに upgrade
- ▶ モジュールの増設
 - → 18台体制での運用を目指す

DAMA/LIBRA領域のさらなる探索

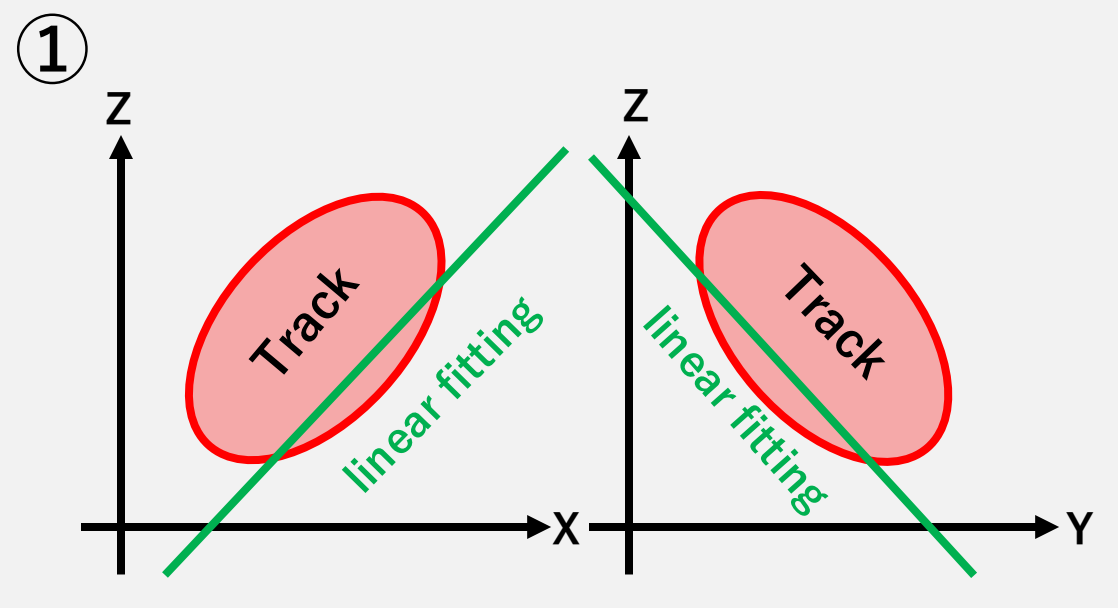


まとめ

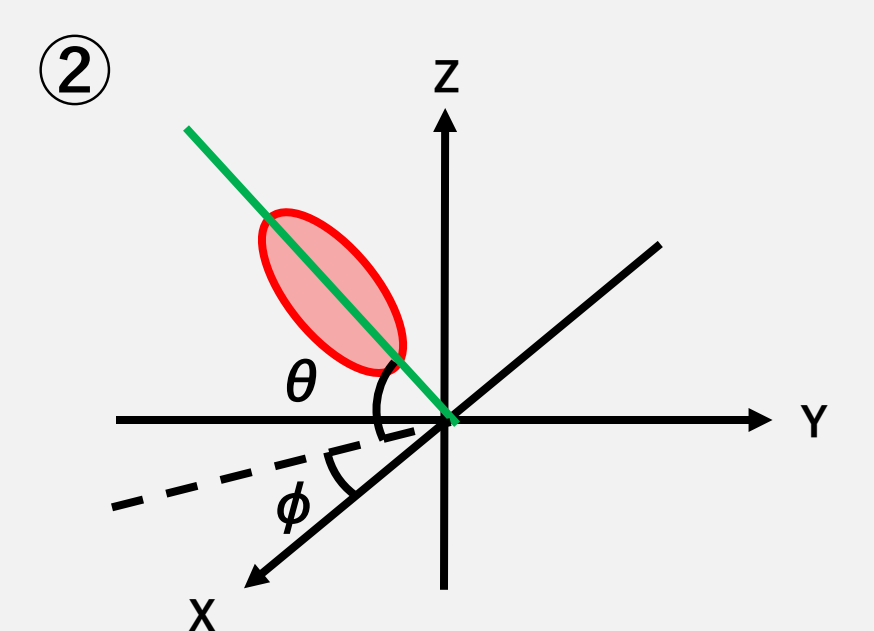
- > NEWAGE: 方向に感度をもつ暗黒物質直接探索実験
- ▶ 感度向上に向けた大型検出器「C/N-1.0」の開発が進行中
 - ・ 試験容器を用いたモジュール型検出器「Module-1」の動作試験が完了
 - Module-1をC/N-1.0へ導入
 - C/N-1.0での信号取得に成功
- ▶ C/N-1.0による暗黒物質探索に向けて
 - ・ 地上試験に向けコミッショニング中
 - 今年度中の神岡坑内搬送を目標

Back up

角度計算方法

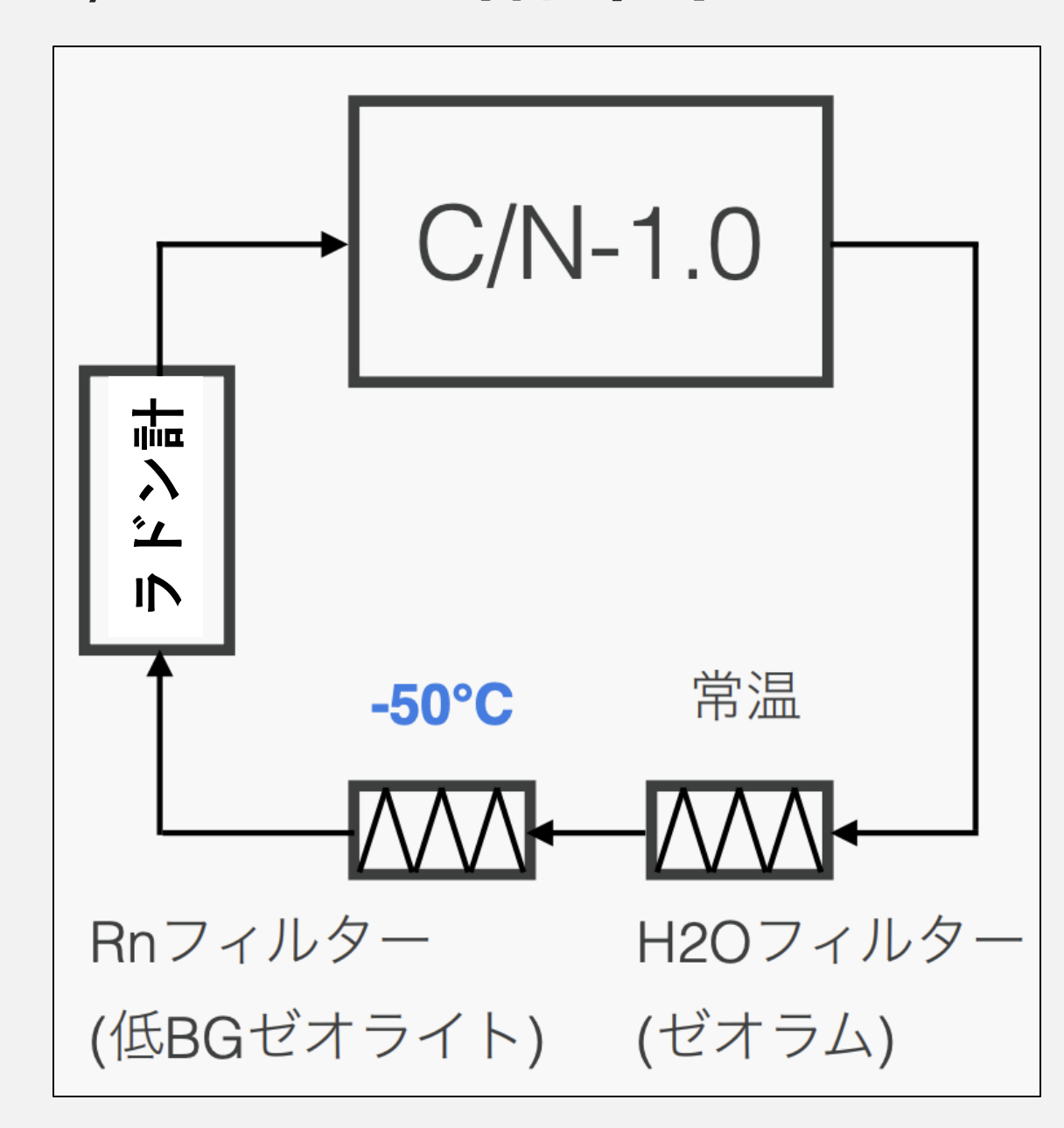


- F原子核反跳を事象選別
- ➤ X-Z、Y-ZのToTを線形fitting

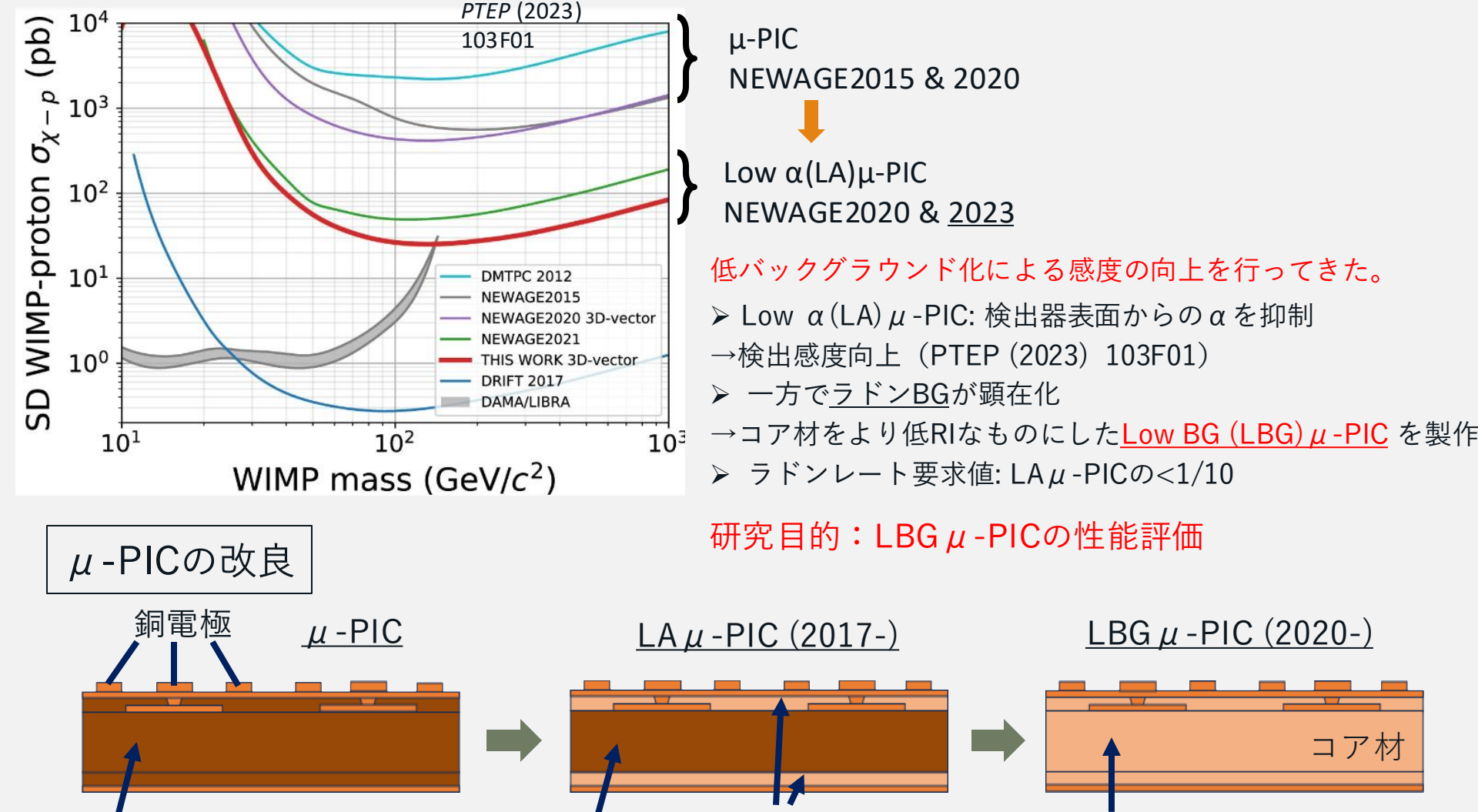


- ➤ X-Z、Y-Zの傾きから球面座標系における 仰角、方位角を計算
- X-Z、Y-Zの傾きから球面座標系における 仰角 θ、方位角 φ を計算
- ▶ 線源照射方向に対する反跳方向γを計算

C/N-1.0 循環系



μ-PIC開発の歴史と低バックグラウンド化の経緯



ポリイミド(w/ glass cloth)

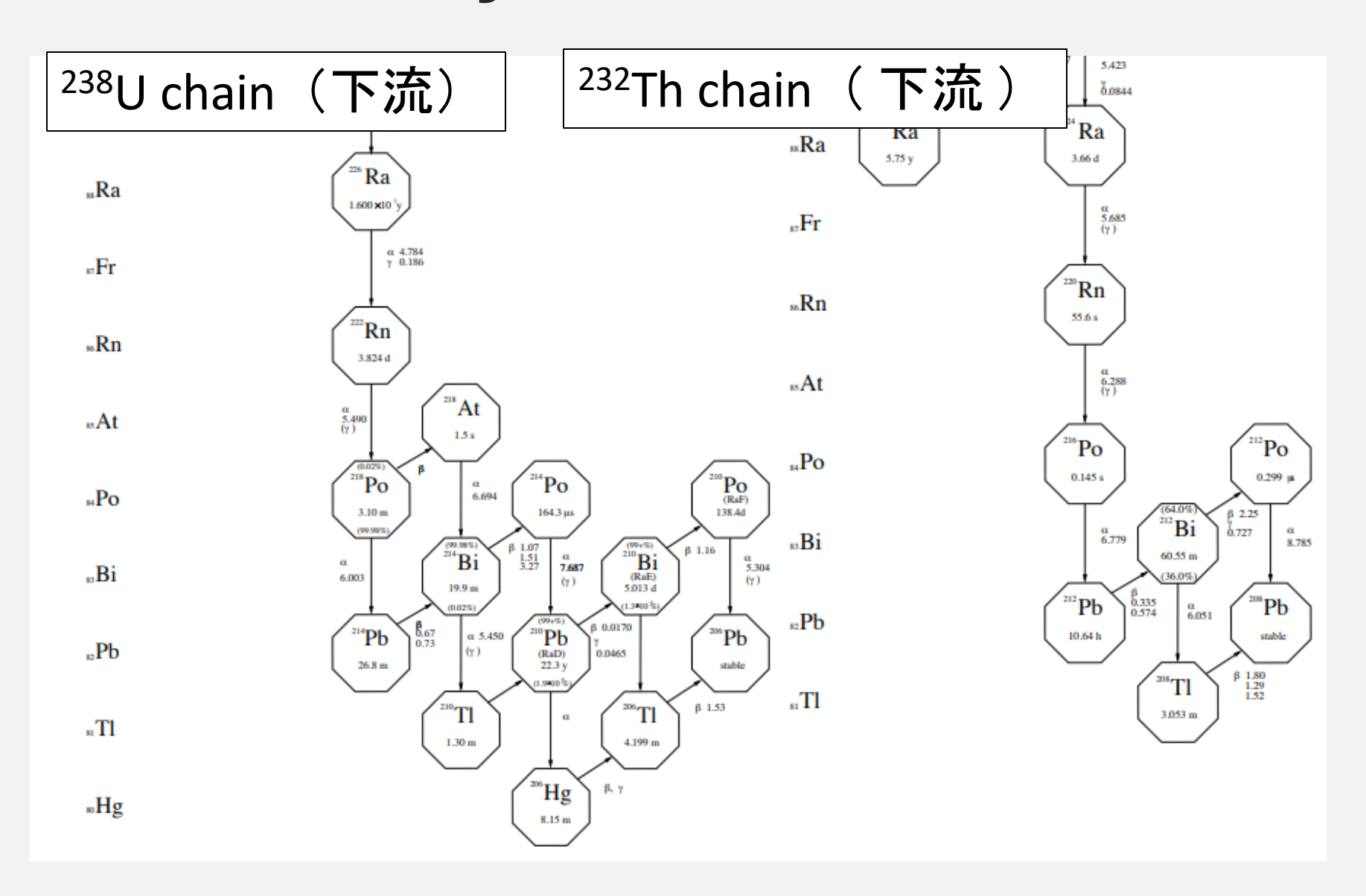
高RI

ポリイミド (w/o glass cloth)

ポリイミド (w/glass cloth)

Quartz w/ Resin

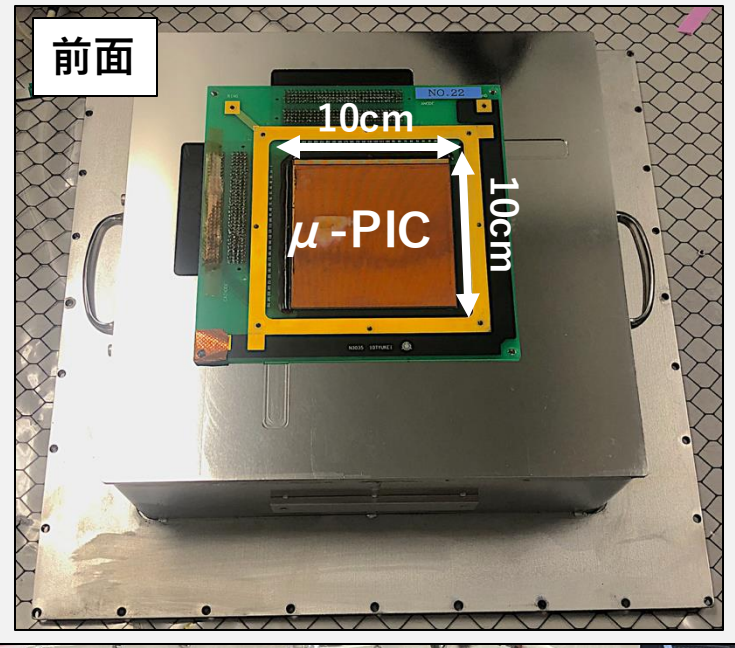
Radon Decay Chain



Module-1





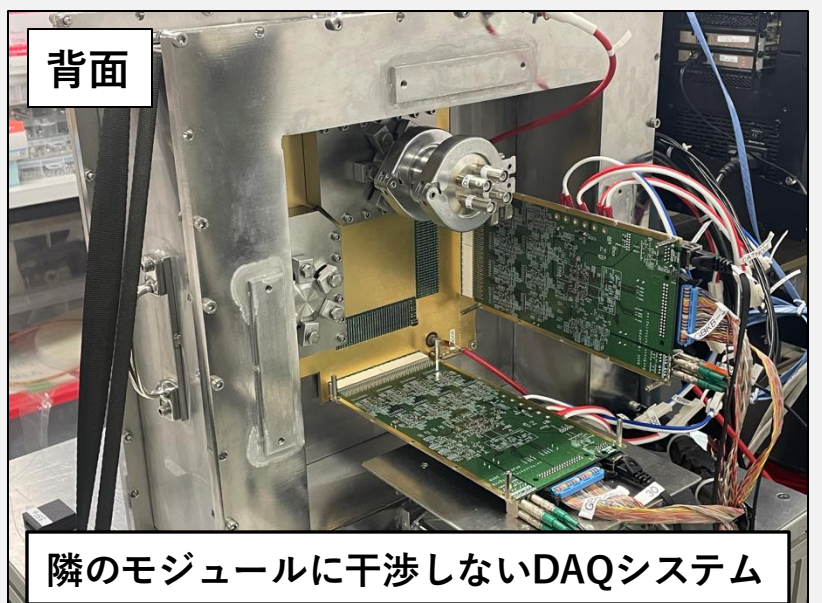


- 特徴
 - ▶ 検出面積: 10 x 10 cm²
 - > μ-PICによる三次元飛跡再構成
 - → 現行NEWAGEを模した構造
- · 現行NEWAGEと異なる点
 - ① GND面の場所
 - C/N-1.0の内部電場を乱さないため
 - → 問題ないことを確認済 (JPS2024春 20aV1-3)
 - ②エレキ
 - エンコーダを変更 (京大、SMILE実験)
 - ・ 隣のモジュールと干渉しない構造

新DAQによるデータ取得の実証が必要



テストチェンバーを用いた動作試験



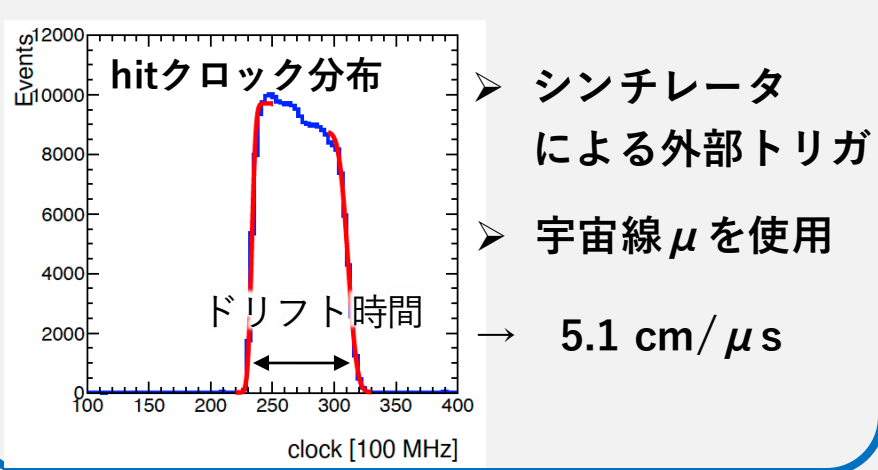
事象選別

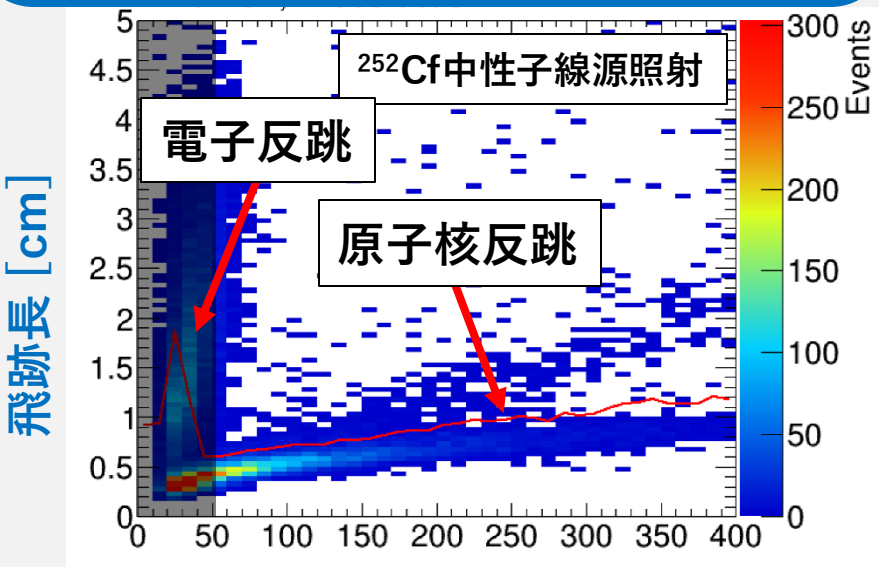




ドリフト速度(飛跡長)較正

Hit信号分布から電子のドリフト速度を評価



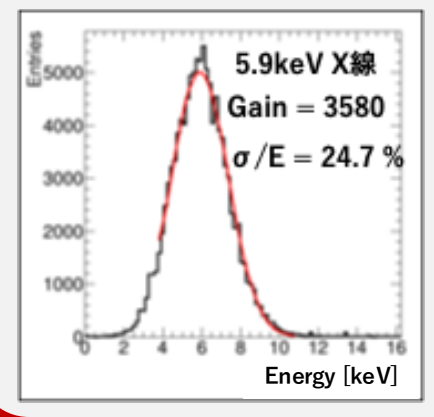


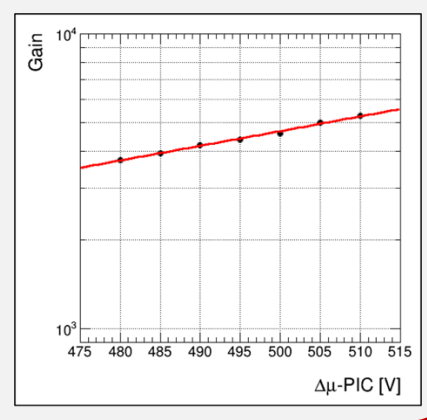
エネルギー [keV]

エネルギー較正

μ-PICの印加電圧とガス利得の関係を評価

▶ 55Fe 5.9keV X線





- ▶ 有効体積カット
 - 検出面積の端1cmでの事象をカット
 - → 検出領域外からのproton等を除去
- ▶ エネルギー-飛跡長カット
 - 252Cf線源による中性子照射
 - 原子核反跳に対してカットラインを決定
 - → F反跳事象を選別

C/N-1.0による飛跡取得試験





> ²⁴¹Am α線源 + ²⁵²Cf 中性子線源 照射



